

ФИЗИОЛОГИЯ РАСТЕНИЙ

УДК 582.923.5:58.032

DOI: 10.36305/0513-1634-2021-141-81-90

ОСОБЕННОСТИ ФОТОСИНТЕЗА И ВОДНОГО РЕЖИМА *QUÉRCUS PUBÉSCENS* WILLD. В УСЛОВИЯХ ОСЕННЕЙ ЗАСУХИ ЮЖНОГО БЕРЕГА КРЫМА

**Олег Антонович Ильницкий, Юрий Владимирович Плугатарь,
Андрей Владимирович Паштецкий, Александр Тарасович Гиль**

Никитский ботанический сад – Национальный научный центр РАН,
298648, Республика Крым, г. Ялта, пгт Никита, Никитский спуск, 52
E-mail: ilnitsky.oleg@mail.ru

Определены зоны оптимума и пороговые значения влажности почвы, температуры, освещенности, лимитирующие фотосинтез и транспирацию для *Quercus pubescens* Willd. Показаны зависимости скорости нетто-фотосинтеза (P_n) и интенсивности транспирации (E) от устьичной проводимости (g_s), температуры листа (T_l) и влажности почвы (W_p). Определена зависимость между скоростью ксилемного потока в побеге растения (Sf), изменением диаметра этого побега (d) и влажностью почвы. Соотношения процессов фотосинтеза и дыхания, при воздействии почвенной засухи, позволили определить их оптимальные значения: $W_p = 26\text{-}28\%$, $P_n = 16 - 18 \mu\text{моль}/\text{м}^2\text{с}$, $P_t = 2\text{-}4 \mu\text{моль}/\text{м}^2\text{с}$. Изучены изменения соотношения между составляющими суммарного дыхания (P_t , R_d , R_{ph}) при воздействии почвенной засухи. Изучение зависимости между скоростью нетто-фотосинтеза, суммарным дыханием и температурой листа позволило определить температурный максимум нетто-фотосинтеза (тепловую точку компенсации): $P_n = P_t = 2,0 \mu\text{моль}/\text{м}^2\text{с}$ при $T_l = 37^\circ\text{C}$. Установлено, что при отсутствии почвенной засухи доля дыхательных затрат (P_t/P_g) от истинного фотосинтеза составляет 20-23%, а при влажности почвы 8-10% возрастает до 55-58%. Полученные результаты исследований позволили определить оптимальные и ограничивающие условия произрастания данного вида и возможности интродукции его в другие регионы.

Ключевые слова: *Quercus pubescens* Willd.; фотосинтез; водный режим; почвенная засуха; оптимальные и ограничивающие условия внешней среды

Введение

Особенности климата Южного берега Крыма (ЮБК), являющегося регионом сухих субтропиков, позволяют сохранять естественную растительность, закладывать новые и реконструировать существующие зеленые насаждения, которые находятся в условиях микроклимата, формируемого окружающей средой [1]. При подборе таких видов растений необходимо изучение различных процессов жизнедеятельности в условиях их произрастания. *Quercus pubescens* Willd. – одна из основных лесообразующих пород на побережьях Чёрного, Средиземного морей [4] и других регионов [14].

В бассейне Средиземного моря, где засуха и загрязнение воздуха, например, тропосферным озоном (O_3), являются основными ограничивающими факторами продуктивности, проводили исследования на сеянцах трех видов дуба, в том числе и *Quercus pubescens* [7]. Снижение фотосинтетической ассимиляции углерода часто происходит в результате закрытия устьиц в условиях пониженной доступности влаги. Напротив, O_3 нарушает активность рибулозо-1,5-бисфосфаткарбоксилазы / оксигеназы (RuBisCO) и фотосинтез, вызывает закрытие устьиц. Результаты этого исследования позволяют по-новому взглянуть на влияние одновременного сочетания абиотических стрессов.

Благоприятные и ограничительные факторы внешней среды для *Quercus pubescens* в Трансильванском бассейне оценивали методами ГИС [18]. Разработана модель пространственного анализа для определения территорий, благоприятных для произрастания дуба пушистого. Модель имеет высокую степень достоверности в качестве сравнительного прямого мониторинга для анализа планового лесного хозяйства (коэффициент валидации 93%). Влияние сезонных изменений окружающей среды (прежде всего засухи) на фотосинтетические и морфологические характеристики листьев, в том числе и *Quercus pubescens*, показано в работе [17]. Устойчивость растений к засухе и аномальной жаре определяется их частотой и продолжительностью, которые, согласно прогнозам, станут гораздо более серьезными при текущих сценариях изменения климата, особенно в Средиземноморском регионе [13]. Реакцию физиологических и биохимических реакций *Quercus pubescens* на высокую температуру воздуха и засуху на кислых и известковых почвах изучали в субсредиземноморском регионе [8]. Увеличение концентрации углекислого газа в атмосфере имеет важные последствия для будущего роста и продуктивности природных и управляемых экосистем и представляет особый интерес для определения поглотителей углерода, полезных для поддержания эффективности карбоксилирования в реакции растений на повышенный уровень CO₂ путем устранения избыточного восстановленного углерода [12]. На саженцах и деревьях *Quercus pubescens* проведены исследования зависимости чистого фотосинтеза, проводимости листьев, транспирации, эмиссии изопрена и флуоресценции хлорофилла от дефицита влажности воздуха и концентрации CO₂ (центральная Италия). Сезонные реакции водного режима и фотохимической эффективности фотосистемы II на летний дефицит воды у однолетних саженцев *Quercus pubescens*, *Q. ithaburensis* и *Q. frainetto* были исследованы в полевых условиях в Греции [6]. Влияние климатических факторов на суточные колебания фотосинтеза были исследованы у *Quercus pubescens*, произрастающего в Швейцарских Альпах в период, когда в Центральной Европе наблюдалась рекордная жара [10]. Сильная засуха и жара вызвали резкое снижение дневной скорости ассимиляции (P_n). Эти эффекты были тесно связаны с изменениями устьичной проводимости (g_s), но она не сопровождалась снижением межклеточной концентрации (C_i). Около полудня сочетание жары и засухи и увеличение C_i указывает на метаболическое ограничение фотосинтеза.

Quercus pubescens является зимним листопадным видом, а летняя засуха и высокие температуры ограничивают интенсивность фотосинтеза. Можно ожидать, что такое ограничение усилится в случае продолжающегося потепления климата. В бассейне Средиземного моря количество осадков, как ожидается, снизится более чем на 25-30% к концу 21-го века, вероятно, сопровождаясь повышением на 4-5°C среднегодовых температур [13].

Цель исследований – изучение экофизиологической реакции *Quercus pubescens* Willd. на воздействие факторов внешней среды, влияющих на особенности водного режима и интенсивности фотосинтеза, позволяющих определить оптимальные и ограничивающие условия их произрастания.

Методология исследований

Дуб пушистый (*Quercus pubescens* Willd.) – это вид белого дуба (род *Quercus* sect. *Quercus*), произрастающий в южной Европе и юго-западной Азии, из северной Испании (Пиренеи) на восток до Крыма и Кавказа [4]. Он также встречается во Франции и некоторых частях Центральной Европы. Дуб пушистый обычно растет в сухих, богатых известью почвах. Часто на приморских и южных склонах образует сообщества с дубом скальным и грабом восточным, реже с можжевельниками.

Поднимается до 400 м над уровнем моря. Формирует низкорослые дубовые криволесья – маквис. Чрезвычайно светолюбив и засухоустойчив, довольно морозостоек и умеренно солеустойчив. Это субсредиземноморский вид, произрастающий от береговой линии до глубин континента. Листопадное дерево 12-18 м высоты. Крона широкая, раскидисто-округлая, густая. Побеги густо войлочно-опущенные, буро-оливковые, затем серые. Листья 5-10 см длины и 2-5 см ширины, обратнояйцевидные или эллиптические, с округлой верхушкой, с округлым или слабосердцевидным основанием. Черешки 6-2 см длины, желуди 5-2 см. Большой полиморфизм у дуба пушистого проявляется по величине, форме, рассеченности, опушению листьев и т.п. Число хромосом $2n = 24$. Его сеянцы используются в качестве подвоя для других пород дуба, менее ксерофитных и более теплолюбивых.

В опыте исследовали четырехлетние саженцы *Quercus pubescens*, выращенные из черенков в вегетационных сосудах объемом 10 л. Датчики для исследования различных процессов жизнедеятельности растения были установлены на молодых листьях верхнего яруса. Влажность почвы в сосудах с контрольными растениями поддерживали на уровне 19-27%, соответствующей увлажнению около 55- 80% наименьшей влагоемкости почвы (НВ). Опытные растения подвергались почвенной засухе путем прекращения их полива. Опыты проводились в июне – июле 2019-2020 гг.

Для непрерывной автоматической регистрации газообмена интактных листьев, роста растений и водного режима использовали монитор фотосинтеза РТМ-48А и фитомонитор РМ-11z [3]. Система мониторинга фотосинтеза РТМ-48А оснащена четырьмя листовыми камерами, подключенными к монитору. Естественная концентрация CO_2 в воздухе равнялась, примерно, 0,04%. Для характеристики различных процессов жизнедеятельности растений использовали параметры: значения чистого фотосинтеза – P_n , $\mu\text{моль}/\text{м}^2\text{с}$; устьичной проводимости – g_s , $\text{мм}/\text{с}$; интенсивности транспирации – E , $\text{мг}/\text{м}^2\text{с}$ в диапазоне излучения – I , от 0 до 2000 $\mu\text{моль}/\text{м}^2\text{с}$. Фотосинтетически активную радиацию и другие параметры окружающей среды: температуру и влажность воздуха – измеряли датчиками метео-модуля РТН-48, подключенными к цифровому входу системы РТМ-48А. Датчик фотосинтетической радиации ТИР-4 (I , $\mu\text{моль}/\text{м}^2\text{с}$), температуру листа – датчик LT-1P ($T_{\text{л}}, ^\circ\text{C}$), датчик влажности почвы – SMS-5P, (W_n , об.ед.%), относительную скорость сокодвижения в побеге (S_f от. ед.) – датчик сокодвижения SF-5P, диаметр стебля (d , мм.) – датчик SD-10z.

Статистическую обработку данных выполняли с использованием прикладных компьютерных программ Statistica 10 (“Statsoft Inc.”, США) и Microsoft Excel 2010. Для моделирования и сглаживания двумерных данных использованы методы наименьших квадратов и робастной локально-взвешенной регрессии (Statistica 10). Все расчеты осуществляли при заданном уровне значимости $P \leq 0,05$.

Результаты исследований

Проведенная серия опытов в тепличных условиях позволила получить информацию об ответных реакциях данного вида на воздействие абиотических факторов и ряд экологических и физиологических характеристик жизнедеятельности данного вида. Фотосинтез является одним из основополагающих процессов продуктивности растений, чутко реагирующим на изменения внешней среды. Интенсивность факторов, обеспечивающих достижение оптимума нетто-фотосинтеза растений, можно рассматривать как экологический оптимум исследуемого генотипа [16]. Определены зоны эколого-физиологического оптимума CO_2 -газообмена и интенсивности транспирации *Quercus pubescens* (рис. 1 А, Б).

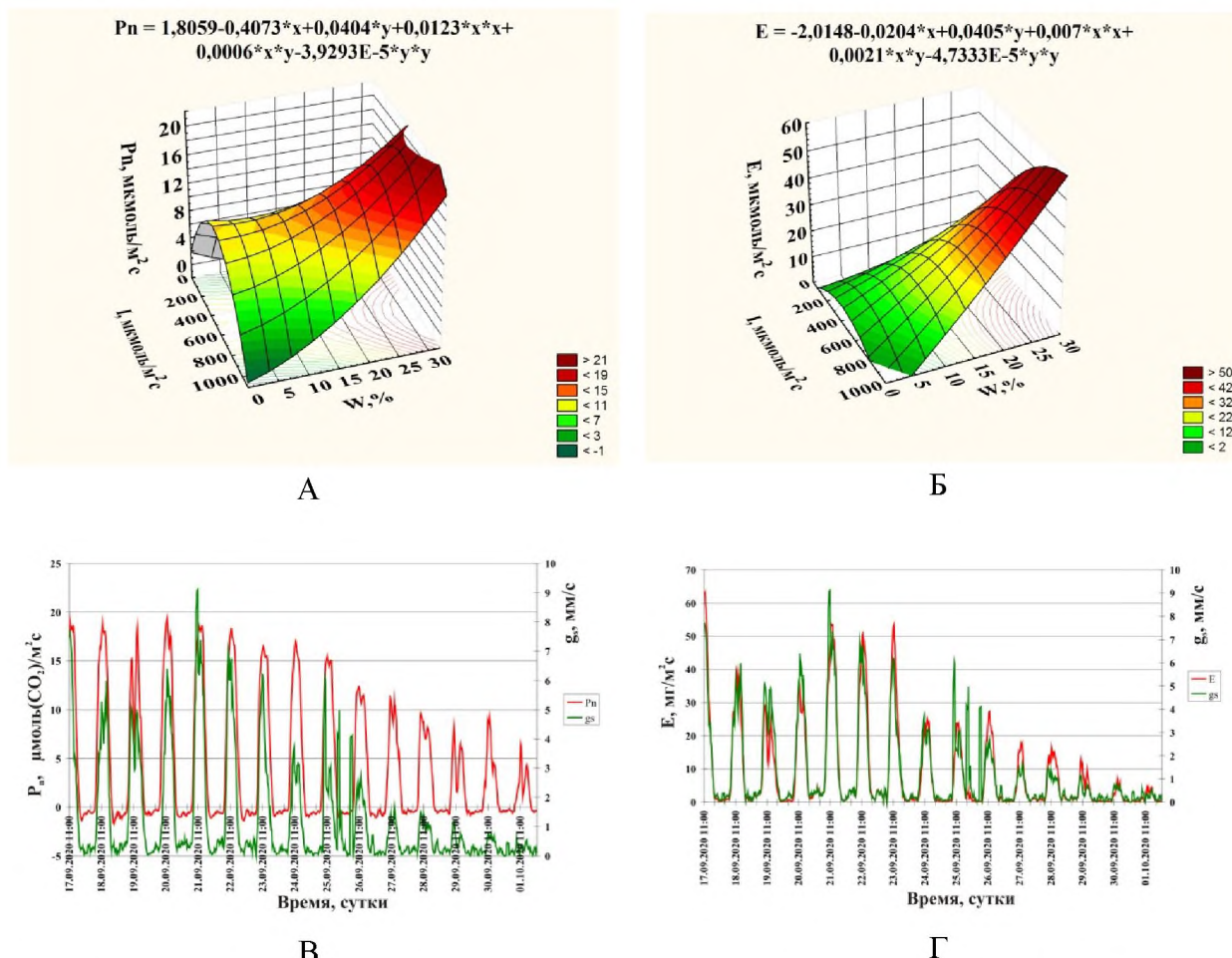


Рис. 1 Зависимость различных процессов жизнедеятельности *Quercus pubescens* Willd от: А – скорости нетто-фотосинтеза (P_n) от увлажнения почвы и освещенности; Б – интенсивности транспирации (E) от увлажнения почвы (W_n) и освещенности (I); В – скорости нетто-фотосинтеза (P_n) от устьичной проводимости (g_s); Г – интенсивности транспирации (E) от устьичной проводимости (g_s).

На рис. 1В, Г показаны зависимости скорости нетто-фотосинтеза (P_n) и интенсивности транспирации (E) от устьичной проводимости (g_s). В процессе почвенной засухи (21.09.11:00-30.09. 11:00) интенсивность нетто-фотосинтеза (P_n) снижается от 19,0 до -3,5 $\mu\text{моль}/\text{м}^2\text{с}$ (рис. 1В), а устьичная проводимость (g_s) за это время – от 8,0 до 0,5 $\text{мм}/\text{с}$.

Условия внешней среды способны изменять диффузию молекул CO_2 и испарение воды при помощи изменения устьичной проводимости. Это обеспечивает защиту растений от перегрева и создает необходимые условия для фотосинтеза и транспирации, а в конечном итоге определенный гомеостаз продукционного процесса [15].

Вверху графиков приведены уравнения нелинейных регрессий зависимостей между этими параметрами. За зону оптимума принимаются условия среды, обеспечивающие интенсивность газообмена или другого зависимого параметра выше 90% от максимального [9]. На рис. 1А показана зависимость скорости нетто-фотосинтеза изучаемого вида (P_n) от увлажнения почвы и освещенности. Оптимальными значениями являются: $I=700-900 \mu\text{моль}/\text{м}^2\text{с}$; $W_n = 26-28\%$; $P_n = 16-18 \mu\text{моль}/\text{м}^2\text{с}$. На рис. 1Б показаны те же зависимости для интенсивности транспирации: $I = 700-900 \mu\text{моль}/\text{м}^2\text{с}$; $W_n = 23-28\%$; $E = 55-60 \text{мг}/\text{м}^2\text{с}$.

Интенсивность транспирации (E) за это же время изменяется от 55 до 1,2 мг/ m^2 с, а устьичная проводимость (g_s) – от 8,0 до 0,5 мм/с (рис. 1Г). Изменения этих параметров (P_n , E) происходит синхронно и определяется факторами внешней среды (в основном освещенностью).

На рис. 2А, Б показана эндогенная регуляция фотосинтетической активности листьев и водного режима *Quercus pubescens* Willd в условиях повышения температуры листа.

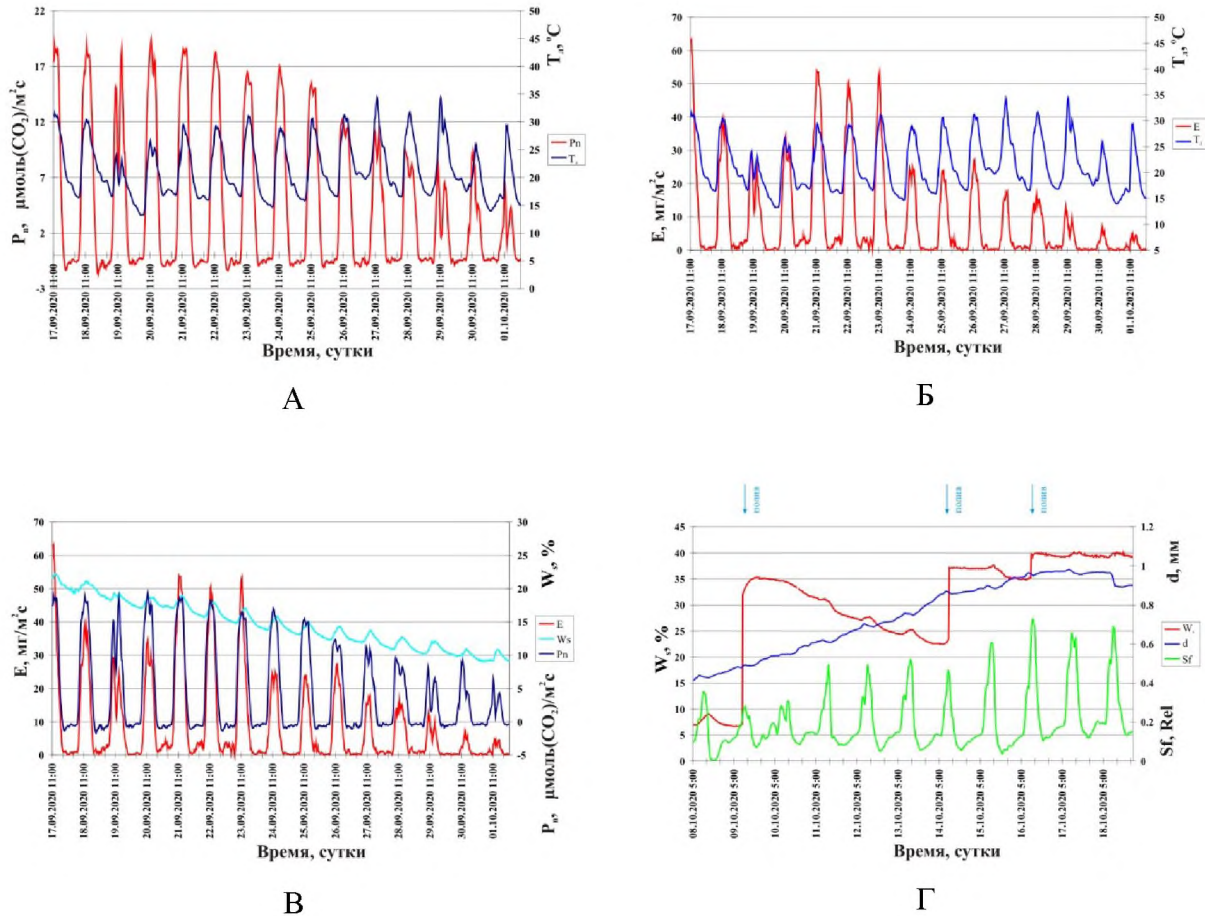


Рис. 2 Эндогенная регуляция фотосинтетической активности листьев и водного режима *Quercus pubescens* Willd в условиях почвенной засухи и повышения температуры: А – взаимосвязь между скоростью нетто-фотосинтеза (P_n) и температурой листа ($T_{l,n}$); Б – интенсивность транспирации (E) и температурой листа ($T_{l,n}$); В – между скоростью нетто-фотосинтеза (P_n), интенсивностью транспирации (E) и влажностью почвы (W_n); Г – между относительной скоростью сокодвижения в стебле (Sf) диаметром побега (d) от увлажнения почвы (W_n).

При увеличении температуры листа ($T_{l,n}$) с 25 до 35 $^{\circ}\text{C}$ (20.09.11:00-29.09. 11:00) интенсивность нетто-фотосинтеза (P_n) снижается от 19 до -4 $\mu\text{моль}/\text{м}^2\text{с}$ (рис. 2А), а интенсивность транспирации (E) за это же время изменяется от 55 до 11 $\text{мг}/\text{м}^2\text{с}$.

Взаимосвязь между скоростью нетто-фотосинтеза (P_n) интенсивностью транспирации (E) и влажностью почвы (W_n) показана на рис. 2В. При изменении влажности почвы от 22,5 до 8,5% (17.09. 11:00-30.09. 11:00) P_n изменяется от 18,0 до 4,0 $\mu\text{моль}/\text{м}^2\text{с}$, а интенсивность транспирации (E) – от 60 до 5 $\text{мг}/\text{м}^2\text{с}$.

Учитывая, что измерения относительной скорости водного потока и диаметра стебля объединяют показатели доступной для растения влаги в почве и параметры

внешней среды, они могут быть использованы как ирригационный индикатор отклика (реакции) вида на водоснабжение.

На рис. 2Г показана зависимость между скоростью ксилемного потока в побеге растения (S_f от.ед.), изменением диаметра этого побега (d , мм) и влажностью почвы. В процессе обезвоживания растения наблюдается синхронное уменьшение этих параметров, что служит сигналом к поливу растения [3]. После полива растения наблюдается синхронное увеличение этих параметров: при изменении влажности почвы от $W_n = 7\%$ до 32% d изменяется от 0,44 мм до 0,89 мм, а S_f от 0,25 до 0,65 от.ед.

В ходе проведенных экспериментов было установлено, что стрессовое воздействие прогрессирующей почвенной засухи при влажности почвы с от 22,5 до 8,5% (21.09.-30.09.) P_n изменяется от 18,5 до 4,0 $\mu\text{моль}/\text{м}^2\text{с}$, а доля дыхательных затрат при этом возрастила. Соотношения процессов фотосинтеза и дыхания, определяют материальный и энергетический баланс системы, отражают закономерности количественной организации целого растения в оптимальных и ограничивающих условиях внешней среды.

На рис. 3А показана зависимость скорости нетто-фотосинтеза изучаемого вида (P_n) и суммарного дыхания (P_t) от увлажнения почвы. Оптимальными значениями являются: $W_n = 26\text{-}28\%$, $P_n = 16\text{-}18 \mu\text{моль}/\text{м}^2\text{с}$, при такой влажности почвы суммарное дыхание $P_t = 2\text{-}4 \mu\text{моль}/\text{м}^2\text{с}$.

В процессе снижения влажности почвы наблюдается изменение соотношения параметров P_n и P_t . Так как суммарное дыхание (P_t) состоит из темнового дыхания (R_d) и фотодыхания (R_{ph}) происходят изменения соотношения между ними (рис. 3Б).

20.09. при влажности почвы 18,2% эти параметры соответственно были равны: $P_t = 1,25 \mu\text{моль}/\text{м}^2\text{с}$, $R_d = 0,8 \mu\text{моль}/\text{м}^2\text{с}$, $R_{ph} = 0,45 \mu\text{моль}/\text{м}^2\text{с}$. В процессе изменения влажности почвы до $W_n = 11,0\%$ соотношение их изменилось: $P_t = 3,0 \mu\text{моль}/\text{м}^2\text{с}$, $R_d = 1,75 \mu\text{моль}/\text{м}^2\text{с}$, $R_{ph} = 0,25 \mu\text{моль}/\text{м}^2\text{с}$.

При снижении влажности почвы (01.10.) до 8,0% эти соотношения равнялись: $P_t = 1,2 \mu\text{моль}/\text{м}^2\text{с}$, $R_d = 1,0 \mu\text{моль}/\text{м}^2\text{с}$, $R_{ph} = 0,2 \mu\text{моль}/\text{м}^2\text{с}$. Анализ полученных результатов показывает, что почвенная засуха оказывает существенное влияние на изучаемые параметры, а после последующей почвенной засухи наблюдается существенное снижение всех изучаемых параметров (рис. 3Б).

При отсутствии водного стресса и достаточном освещении, поглощение и восстановление CO_2 ускоряются с повышением температуры листа. Рост температуры воздуха и, следовательно, листа приводит к ингибированию ферментативной активности и снижению интенсивности фотосинтеза [6]. Это приводит к тому, что дыхание становится поставщиком энергии для reparации поврежденных органелл и клеточных функций. На рис.3В показана зависимость между скоростью нетто-фотосинтеза (P_n), суммарным дыханием (P_t) и температурой листа (T_l). Кривые дыхания и фотосинтеза пересекаются в верхней точке – средние значения P_n и P_t равны $2,2 \mu\text{моль}/\text{м}^2\text{с}$ (рис. 3А, Б, В, Г).

Данный температурный максимум нетто-фотосинтеза можно рассматривать как тепловую точку компенсации [16] для *Quercus pubescens* адаптированного к произрастанию на Южном берегу Крыма. Верхняя температурная граница нетто-фотосинтеза подвержена сезонным и адаптивным изменениям (вызываемым жарой и засухой) [17].

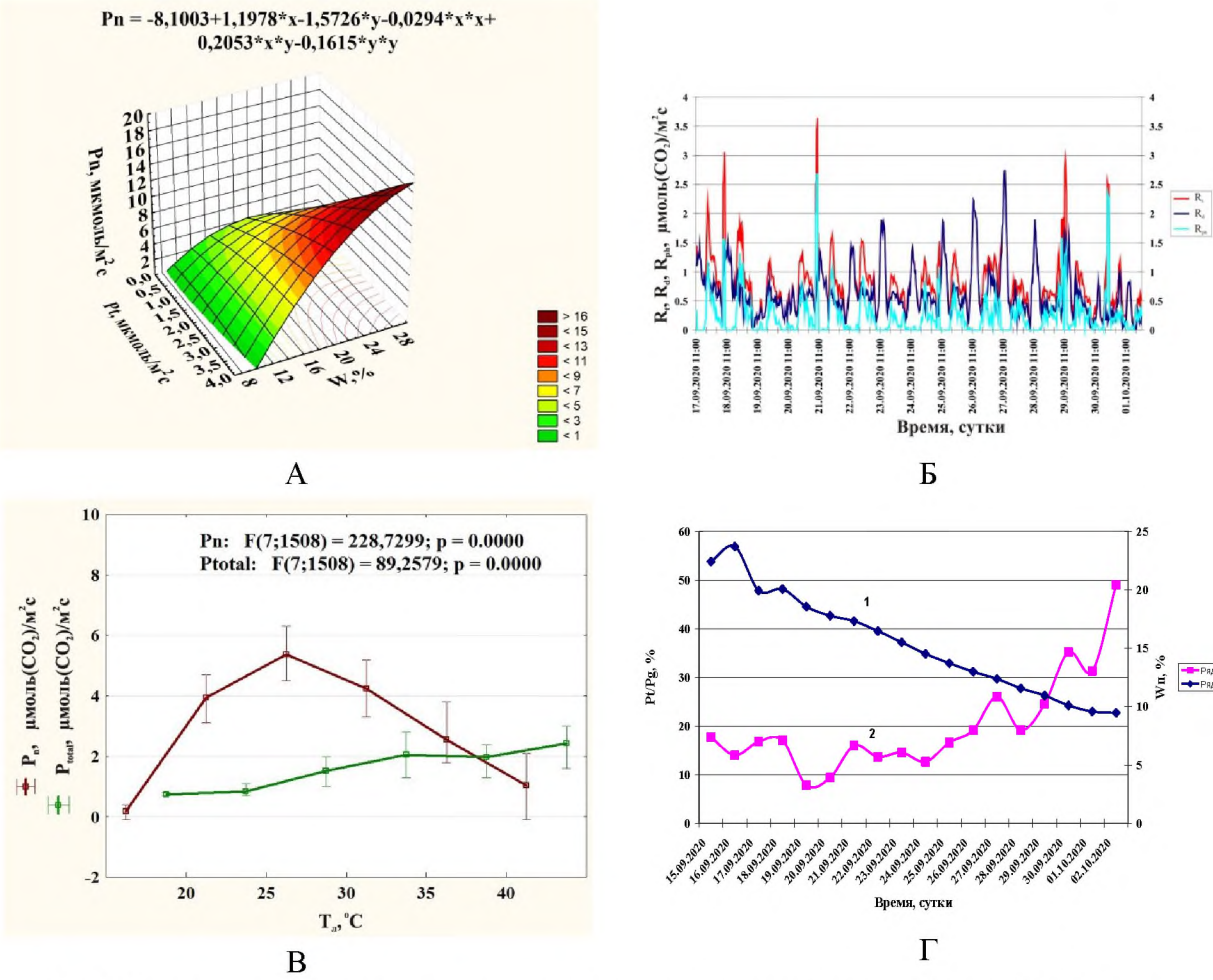


Рис. 3 Зависимость различных процессов жизнедеятельности *Quercus pubescens* Willd от: А – скорости нетто-фотосинтеза (P_n), суммарного дыхания листа (P_t) от увлажнения почвы (W_n); Б – между скоростью суммарного дыхания (P_t), темнового дыхания (R_d) и фотодыхания (R_{ph}); В – между скоростью нетто-фотосинтеза (P_n), суммарным дыханием (P_t) и температурой листа (T_l); Г – между соотношением P_t/P_g и влажностью почвы (W_n)

Для оценки адаптационных затрат *Quercus pubescens* при водном стрессе были использованы интенсивность гроссфотосинтеза (истинного фотосинтеза – P_g) и суммарного темнового дыхания (рис. 3Г). Соотношение (P_t/P_g) является интегральным показателем энергетического баланса растения и согласованности основных физиологических процессов – фотосинтеза, роста, дыхания, транспорта ассимилятов, и т.д. [11]. При выращивании растения в оптимальных условиях данное соотношение достаточно консервативно и видонеспецифично, но даже небольшое отклонение внешних условий от оптимальных влечет за собой изменение P_t/P_g , в сторону его увеличения в результате возникновения дополнительных дыхательных затрат на адаптацию растений (R_a). Фотосинтез и дыхание являются главными продуцентами АФК, которые приводят к дисбалансу P_t/P_g , запуская процессы антиоксидантной защиты, что способствуют установлению баланса между дыханием и фотосинтезом [2]. При стрессе это соотношение возрастает за счет увеличения суммарного дыхания на величину R_a (адаптационная составляющая дыхания). Эта величина более значительна у менее устойчивых к данному конкретному стрессу вида растений. Новое соотношение (P_t/P_g), согласно принципу энергетического минимума, имеет минимально возможное значение в данных условиях [5].

В ходе проведенных экспериментов было установлено, что на первом этапе стрессового воздействия прогрессирующей почвенной засухи при влажности почвы $W_n = 20\text{-}23\%$ в листьях *Quercus pubescens* сохранялась сбалансированность физиологических процессов фотосинтеза и дыхания, и доля дыхательных затрат от истинного фотосинтеза составляла 22-24%. По мере нарастания комплексного воздействия водного и теплового стресса при влажности почвы 8-10% доля дыхательных затрат от истинного фотосинтеза возрастила, а перед поливом составляла 55-58%.

Наиболее быстрой реакцией на обезвоживание листьев растения, позволяющей уменьшить потерю воды, является закрытие устьиц. Полученные соотношения процессов фотосинтеза и дыхания, отражают закономерности количественной организации целого растения в оптимальных условиях и под воздействием данного стресса и определяют материальный и энергетический баланс системы.

Выводы

Выявлены генотипические особенности *Quercus pubescens* и найдены оптимальные и ограничивающие условия его выращивания в соответствии с условиями внешней среды.

Получены количественные величины оптимальных и пороговых значений экологических факторов, лимитирующих скорость нетто-фотосинтеза и интенсивность транспирации в фазу летнего активного роста и их взаимосвязь с устьичной проводимостью и температурой листа.

Скорость ксилемного потока в побеге растения и диаметр этого побега в процессе обезвоживания синхронно уменьшаются, что служит сигналом к поливу растения и может быть использовано для оптимизации управления орошением.

Определены оптимальные и ограничивающие условия фотосинтеза и дыхания при воздействии почвенной засухи. Оптимальными значениями являются: $W_n = 26\text{-}28\%$, $P_n = 16\text{-}18 \mu\text{моль}/\text{м}^2\text{с}$. При такой влажности почвы суммарное дыхание $P_t = 2\text{-}4,0 \mu\text{моль}/\text{м}^2\text{с}$.

При воздействии почвенной засухи изменяются соотношения между составляющими суммарного дыхания (P_t , R_d , R_{ph}). Полив растений оказывает существенное влияние на изучаемые параметры, а после повторного полива и последующей почвенной засухи наблюдается снижение изучаемых параметров.

Определен температурный максимум нетто-фотосинтеза – при этом нетто-фотосинтез (P_n) и суммарное дыхание (P_t) пересекаются в точке, где значения P_n и P_t равны $2,2 \mu\text{моль}/\text{м}^2\text{с}$. Температура листа $T_l = 37^\circ\text{C}$, и ее можно рассматривать, как тепловую точку компенсации.

Интегральным показателем энергетического баланса целого растения является доля дыхательных затрат от истинного фотосинтеза (P_t/P_g). Установлено, что при отсутствии почвенной засухи доля дыхательных затрат от истинного фотосинтеза составляет 20-23%, а при влажности почвы 8-10% возрастает до 55-58%.

Полученные результаты исследований дали возможность интродукции его в другие регионы.

Список литературы

1. Анненков А.А., Иванов В.Ф., Хохрин А.В., Акимов Ю.А. Методические рекомендации по изыскательским работам для проектирования объектов озеленения в Крыму. – Ялта, 1984. – 26 с.

2. Дроздов С.Н. Некоторые аспекты экологической физиологии растений / С.Н. Дроздов, В.К. Курец. – Петрозаводск: ПетрГУ, 2003. – 172 с.
3. Ильницкий О.А., Плугатарь Ю.В., Корсакова С.П. Методология, приборная база и практика проведения фитомониторинга. – Симферополь: ИТ «АРИАЛ», 2018. – 233 с.
4. Исиков В.П., Плугатарь Ю.В. Дикорастущие деревья и кустарники Крыма. 2-е изд., испр. и доп. – Симферополь: ИТ «Ариал», 2018. – 324 с. ISBN 978-5-907032-47-7
5. Рахманкулова З.Ф. Уровни регуляции энергетического обмена в растении // Вестник Башкирского университета, 2009. – Т. 35. – №. 2-1. – С. 1141-1154.
6. Abubakr Mohamed, Juma Siam, Kalliopi Radoglou, Basiliros Noitsakis and Pavlos Smiris. Ecophysiology of Seedlings of Three Deciduous Oak Species During Summer Water Deficit Faculty of Forestry and Natural Environment // Aristotle University of Thessaloniki, Greece Sudan J. Des. Res. – 2009. – № 1 (1). – P. 71-87.
7. Claudia Cocozza, Elena Paoletti, Tanja Mrak, Saša Zavadlav, Tom Levanič, Hojka Kraigher, Alessio Giovannelli, Yasutomo Hoshika. Isotopic and Water Relation Responses to Ozone and Water Stress in Seedlings of Three Oak Species with Different Adaptation Strategies Forests. – 2020. – № 11(8). – 864 p. DOI: <https://doi.org/10.3390/f11080864>
8. Contran N., Gunthardt-Goerg M.S., Kuster T.M., Cerana R., Crosti P.& Paoletti E. Physiological and biochemical responses of *Quercus pubescens* to air warming and drought on acidic and calcareous soils. // Plant Biology. June 2012. – p.157-168. DOI: 10.1111/j.1438-8677.2012.00627.x Source: PubMed
9. Drozdov S.N., Khlopptseva E.S. Possibility of using multifactor experiments in study of plants' ecological and physiological characteristics. Uchenyie zapiski Petrozavodskogo gosudarstvennogo universiteta // Scientific Notes of the Petrozavodsk State University. – 2013. – N.2 (131). – p. 11-15.
10. Haldimann P., Gallé A. and Feller U. Impact of an exceptionally hot dry summer on photosynthetic traits in oak (*Quercus pubescens*) leaves. // Heron Publishing—Victoria, Canada Tree Physiology 28. – 2008. – p.785-795.
11. Hurry V., Igamberdiev A.U., Keerberg O., Parnik T., Atkin O., Zaragoza-Castells J., Gardestrom P. Respiration in Photosynthetic Cells: Gas Exchange Components, Interactions with Photorespiration and the Operation of Mitochondria in the Light. // In Plant Respiration: From Cell to Ecosystem (eds. H. Lambers and M. Ribas-Carbo). Berlin: Springer-Verlag, 2005. – p. 43-61.
12. Johnson J.D., Michelozzi M., Tognetti R. Carbon physiology of *Quercus pubescens* Wild, growing at the Bossoleto CO₂ spring in central Italy Publisher: Cambridge University Press Online publication date: February, 2010. – p. 148-164. DOI: <https://doi.org/10.1017/CBO9780511565236.013>
13. Lionello P. Climate change projections for the Mediterranean region // Glob Planet Change, 2008. – № 63. – p. 90-104. DOI:[10.1016/j.gloplacha.2007.09.005](https://doi.org/10.1016/j.gloplacha.2007.09.005)
14. Lucian Dinca, Emilia Vechiu, Marin Drăcea Intelligent Pubescent. Oak Forests (*Quercus Pubescens* Wild.) From Dobroudja Plateau, Romania Sustainable Development Research. 2020. – Vol. 2. DOI: <https://doi.org/10.30560/sdr.v2n2p1>
15. Medrano H., Escalona J.M., Bota J., Gulias J., Flexas J. Regulation of Photosynthesis of C3 Plants in Response to Progressive Drought: Stomatal Conductance as a N3Reference Parameter. Annals of Botany, 2002. – Vol. 89, Iss. 7. – p. 895-905.
16. Physiological Plant Ecology: Ecophysiology and Stress Physiology of Functional Groups. Heidelberg: Springer-Verlag, 2003.
17. Sperlich D., Chang C.T., Peñuelas J., Gracia C., Sabaté S. Seasonal variability of foliar photosynthetic and morphological traits and drought impacts in a Mediterranean mixed forest // Tree Physiology. – 2015. – V. 35. – P. 501-520. DOI: 10.1093/treephys/tpv017.

18. Vasile Šimonca, Sanda Roșca, Alexandru Colișar, Florin Rebream, Ștefan Bilașco. Favorable and Restrictive Factors for *Quercus pubescens* in the Transylvanian Basin // Evaluated by GIS Techniques Notulae Botanicae Horti Agrobotanici Cluj-Napoca is a peer-reviewed quarterly, 2019. – Vol. 48, No. 4. DOI: <https://doi.org/10.15835/nbha47411624>

Статья поступила в редакцию 15.10.2021 г.

Il'ničky O.A., Plugatar Yu.V., Pashtetsky A.V., Gil A.T. Features of photosynthesis and water regime of *Quercus pubescens* Willd. in the conditions of autumn dry of the Southern Coast of the Crimea // Bull. Of the State Nikita Botan. Gard. – 2021. – № 141. – P. 81-90

For *Quercus pubescens* Willd. the zones of optimum and threshold values of soil moisture, temperature, illumination, limiting photosynthesis and transpiration, were determined. The dependences of the rate of net photosynthesis (P_n) and the intensity of transpiration (E) on stomatal conductance (g_s), leaf temperature (T_l) and soil moisture (W_s) are shown. The relationship between the speed of the xylem flow in the plant shoot (S_f , Rel. units), the change in the diameter of this shoot (d , mm) and soil moisture has been determined. The relationships between the processes of photosynthesis and respiration under the influence of soil drought made it possible to determine their optimal values: $W_s = 26 - 28\%$, $P_n = 16 - 18 \mu\text{mol/m}^2\text{s}$, $P_t = 2 - 4 \mu\text{mol/m}^2\text{s}$. Changes in the ratio between the components of total respiration (P_t , R_d , R_{ph}) under the influence of soil drought were studied. The relationship between the rate of net photosynthesis, total respiration and leaf temperature made it possible to determine the temperature maximum of net photosynthesis (thermal compensation point): $P_n = P_t = 2.0 \mu\text{mol/m}^2\text{s}$, at $T = 37^\circ\text{C}$. It was found that in the absence of soil drought, the share of respiratory expenditure (R/P_g) from true photosynthesis is 20 – 23%, and at soil moisture of 8–10% it increases to 55–58%. The obtained research results made it possible to determine the optimal and limiting conditions for the growth of this species and the possibility of its introduction to other regions.

Key words: *Quercus pubescens* Willd.; Photosynthesis; water regime; soil drought; optimal and limiting environmental conditions